

FILTRAGE ET ONDES

I. Etude d'un filtre (d'après Centrale II TSI 2010)

I.1. Etude expérimentale

1. Il y a chaque fois 5 périodes, donc $T_1 = 100 \text{ ms}$, $T_2 = 200 \mu\text{s}$, $T_3 = 20,0 \mu\text{s}$, donc

$$\boxed{f_1 = 10,0 \text{ Hz}, f_2 = 5,00 \text{ kHz}, f_3 = 50,0 \text{ kHz}}.$$

La tension de sortie est très faible à haute fréquence et importante à basse fréquence. Cela est caractéristique d'un filtre passe-bas.

2. Le rapport des amplitudes donne le gain (cf Fig. 1) $G = \frac{0,50 \text{ V}}{1,00 \text{ V}} = 0,50$.

On peut mesurer le retard temporel de la sortie sur l'entrée en comparant par exemple les instants des zéros montant : $\Delta t = 0,06 \text{ ms}$. Donc $\phi = -\omega \Delta t = -2\pi f_2 \Delta t = -1,9 \text{ rad}$.

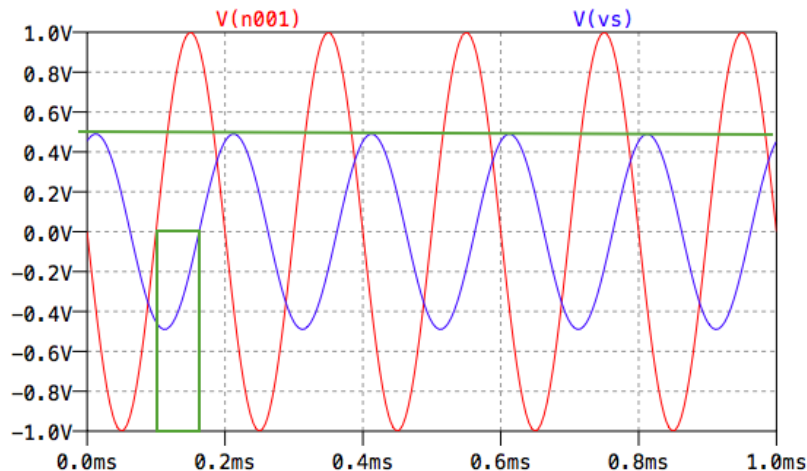


FIGURE 1 – Etude à f_2

3. On passe de -17 dB pour 10 kHz à -97 dB à 1 MHz , c'est-à-dire en $\log 10^6 - \log 10^4 = 2$ décades (cf Fig. 2). La pente de l'asymptote est donc de $\frac{-97 - (-17)}{2} = -40 \text{ dB/décade}$: c'est donc un filtre d'ordre 2.
4. On cherche la fréquence pour laquelle le gain en décibel vaut $G_{dB} = G_{dB, \max} - 3,0 \text{ dB} = -3,0 \text{ dB}$. Il vient graphiquement $f_c \approx 4 \text{ kHz}$.

I.2. Etude théorique

5.

À basses fréquences, un condensateur se comporte comme un interrupteur ouvert. Donc l'intensité i_+ traverse les deux résistances R . Comme $i_+ = 0$, il vient $V_+ = V_e = u_e$. Or $V_s = V_- = V_+$, donc $\boxed{u_s = u_e}$.

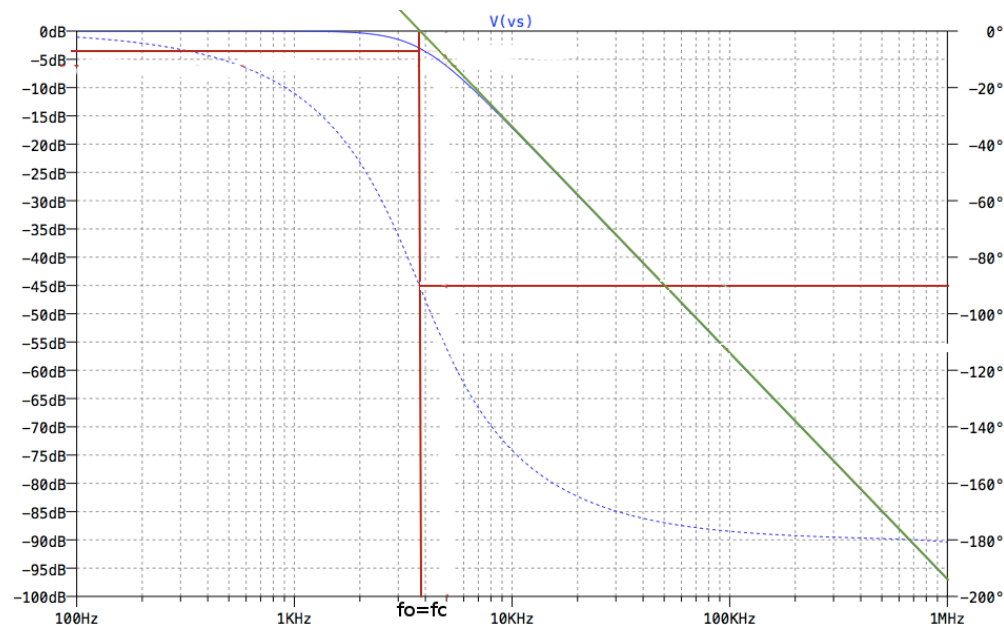
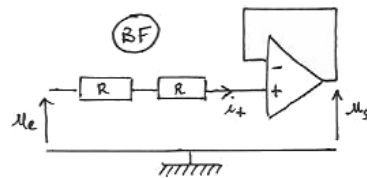
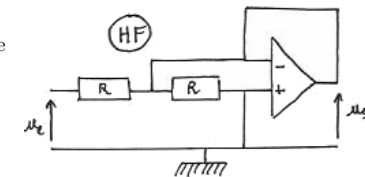


FIGURE 2 – Diagramme de Bode du filtre

À hautes fréquences, un condensateur se comporte comme un fil. Donc $V_+ = 0$ donc $\boxed{u_s = V_- = V_+ = 0}$.

Il s'agit donc bien d'un filtre passe-bas.



6. a) Comme $i_+ = 0$, R et C forme un pont diviseur de tension donc : $\boxed{V_+ = \frac{1}{1 + jRC\omega} V_A}$.

b) La loi des noeuds en terme de potentiel s'écrit :

$$\frac{V_E - V_A}{R} + \frac{V_+ - V_A}{R} + j2C\omega(V_S - V_A) = 0 \Leftrightarrow \boxed{2(1 + j\omega RC)V_A = u_e + V_+ + 2j\omega RC u_s}$$

c) En injectant $V_+ = V_- = u_s$ dans les deux équations ci-dessus, on obtient

$$2(1 + j\omega RC)^2 u_s = u_e + (1 + 2j\omega RC) u_s \Leftrightarrow \underline{H} = (1 + 2j\omega RC + 2(j\omega RC)^2)^{-1}$$

$$\text{D'où } \underline{H} = \frac{H_0}{1 - \frac{\omega^2}{\omega_0^2} + j\frac{\omega}{Q\omega_0}} \text{ avec } \boxed{H_0 = 1}, \quad \boxed{\omega_0 = \frac{1}{\sqrt{2}RC}} \text{ et } \boxed{Q = \frac{1}{\sqrt{2}}}$$

7. On a $G = |\underline{H}| = \frac{1}{\sqrt{(1 - \frac{\omega^2}{\omega_0^2})^2 + 2\frac{\omega^2}{\omega_0^2}}}$ d'où $\boxed{G = \frac{1}{\sqrt{1 + \frac{\omega^4}{\omega_0^4}}}}$.

8. Basses fréquences : $G_{dB} \xrightarrow[\omega \rightarrow 0]{} 0$ donc l'asymptote est horizontale confondue avec l'axe des abscisses pour $\frac{f}{f_0} \ll 1$. C'est cohérent avec le tracé expérimental.

Haute fréquence : $G_{dB} \approx -20 \log\left(\frac{f^2}{f_0^2}\right) = 40 \log(f_0) - 40 \log f$. L'asymptote est **une droite de pente** -40 dB/decade.

Le point d'intersection des deux asymptotes est en $f = f_0$. On peut donc trouver f_0 graphiquement. On trouve $f_0 \approx 4$ kHz.

On retrouve bien que $f_0 = f_c$ comme attendu théoriquement pour cette valeur du facteur de qualité Q .

9. On a $H(f_0) = \frac{1}{\sqrt{2j}}$ donc $\phi(\omega_0) = -\frac{\pi}{2} = -90^\circ$, ce qui est cohérent avec le tracé expérimental.

I.3. Application du filtre : démodulation d'un signal en amplitude

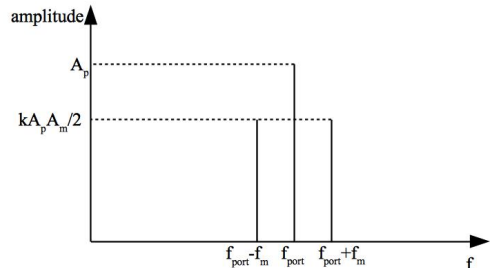
10. En linéarisant $s(t)$, on obtient trois composantes spectrales (3 harmoniques) :

$$s(t) = A_p \cos(2\pi f_p t) + \frac{k A_p A_m}{2} (\cos(2\pi(f_m + f_p)t) + \cos(2\pi(f_p - f_m)t))$$

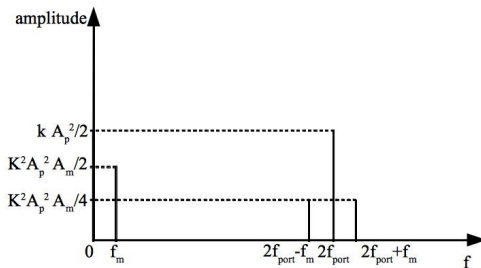
En linéarisant $s'(t) = k A_p^2 [1 + k A_m \cos(2\pi f_m t)] \cos^2(2\pi f_p t)$, on obtient 4 harmoniques :

$$s'(t) = \frac{k A_p^2}{2} + \frac{k^2 A_p^2 A_m}{2} \cos(2\pi f_m t) + \frac{k A_p^2}{2} \cos(4\pi f_p t) + \frac{k^2 A_p^2 A_m}{4} (\cos(2\pi(f_m + 2f_p)t) + \cos(2\pi(2f_p - f_m)t))$$

On en déduit les deux spectres en amplitude respectifs :



Spectre du signal modulé $s(t)$.



Spectre du signal $s'(t)$.

11. Le filtre passe-bas doit permettre de ne garder que le signal de fréquence f_m et la valeur moyenne. Grâce à cette contrainte de 80 dB, on atténue d'un facteur 10^4 les signaux qu'on ne désire pas garder situés au voisinage de la fréquence $2f_p$, ce qui les élimine totalement. On veut donc :

$$G(2f_p) = 10^{-4} \Leftrightarrow 1 + \frac{16 f_p^4}{f_0^4} = 10^8 \Leftrightarrow 2f_p \approx 10^2 f_0 \Leftrightarrow R = \frac{10^2}{4\pi\sqrt{2}Cf_p} = 30 \text{ k}\Omega.$$

12. Dans ces conditions, et compte-tenu du fait que $f_m \ll f_c = f_0$, le gain et le déphasage qui s'appliquent respectivement à la composante continue et à la fréquence f_m sont : $G(0) = |H_0| = 1 \approx G(f_m)$ et $\varphi(0) = \arg(1) = 0 \approx \varphi(f_m)$. Finalement, **on conserve les deux premières composantes de $s'(t)$ intactes** à

la sortie du filtre (cad celles de plus basses fréquences), ce qui donne $s''(t) = \frac{k A_p^2}{2} + \frac{k^2 A_p^2 A_m}{2} \cos(2\pi f_m t)$.

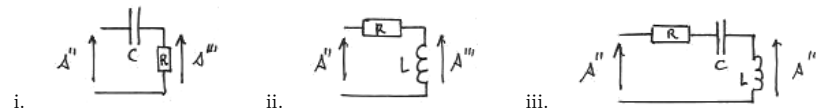
13. On veut maintenant récupérer uniquement le signal modulant, donc la composante de fréquence f_m . Il faut concevoir un filtre passe-haut. À l'aide de dipôles de type R , L et C , différents choix sont possibles :

i. un circuit $R - C$ série en prenant la tension de sortie sur la résistance (filtre d'ordre 1) :

ii. un circuit $R - L$ série en prenant la tension de sortie sur la bobine (filtre d'ordre 1) :

iii. un circuit $R - L - C$ série en prenant la tension de sortie sur la bobine (filtre d'ordre 2) :

iv. d'autres filtres passifs plus compliqués, ou des filtres actifs...

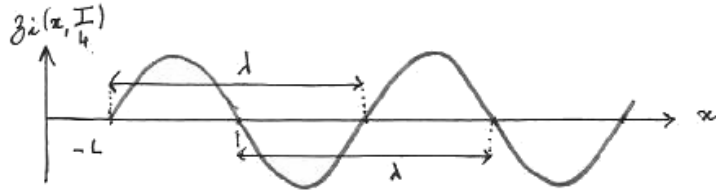


Avec la première solution, la fréquence de coupure est $f_c = \frac{1}{2\pi RC}$ et on veut $f_c \ll f_m \Leftrightarrow RC \gg \frac{1}{2\pi f_m}$. On doit pouvoir transmettre des fréquences sonores dans la bande [50 Hz ; 5 kHz], ce qui impose $RC \gg 3 \times 10^{-3}$ s. Cela peut être obtenu par exemple avec $R = 30 \text{ k}\Omega$ et $C = 1 \mu\text{F}$ ce qui donne $RC = 3 \times 10^{-2}$ s.

II. Piscine à vagues

II.1. Utilisation d'une plaque oscillante

- On a $[\rho] = M.L^{-3}$ d'où $[c^2] = L^2.T^{-2} = \frac{L.[A]}{M.L^{-3}}$ d'où $[A] = M.T^{-2}$.
La constante de tension superficielle représente une **énergie par unité de surface**.
 - On a alors $H = \frac{c^2}{g} = 1,6 \text{ m}$.
- L'onde incidente se translate (sans déformation) vers la droite depuis $x = -L$, donc $z_i(x, t)$ est la perturbation vue en $x = -L$ à l'instant antérieur $t - \frac{x+L}{c}$, d'où $z_i(x, t) = Z_m \cos(\omega t - k(x+L))$, en posant $k = \frac{\omega}{c}$ le nombre d'onde angulaire. On a bien $z_i(-L, t) = Z_m \cos(\omega t)$.
 - Comme $\omega \frac{T}{4} = \frac{\pi}{2}$, on obtient $z_i(x, \frac{T}{4}) = Z_m \sin(k(x+L))$. La fonction n'est pas définie pour $x < -L$...

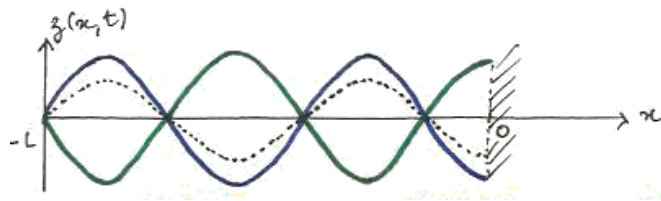


- On a $z_i(0, t) = Z_m \cos(\omega t - kL)$ donc $z_r(0, t) = Z_{mr} \cos(\omega t - kL)$. Comme l'onde réfléchie se propage en sens inverse depuis $x = 0$, ceci conduit à $z_r(x, t) = Z_{mr} \cos(\omega(t + \frac{x}{c}) - kL) = Z_{mr} \cos(\omega t + k(x-L))$. Pour que l'amplitude des vibrations temporelles soit maximale en $x = 0$, cela nécessite que

$$\forall t, \frac{\partial(z_i + z_r)}{\partial x}(x = 0, t) = 0 \Leftrightarrow \forall t, k(Z_m - Z_{mr}) \cos(\omega t - kL) = 0 \Leftrightarrow Z_m = Z_{mr}.$$

Ainsi l'onde réfléchie a la même amplitude que l'onde incidente, donc $z_r(x, t) = Z_m \cos(\omega t + k(x-L))$.

- On peut factoriser la somme, ce qui donne $z(x, t) = 2Z_m \cos(kx) \cos(\omega t - kL)$. Les variables x et t sont découplées donc cette onde n'est pas progressive. Elle vibre « sur place », il s'agit d'une **onde stationnaire**.
 - On a donc $\cos(-kL) = 0$, donc $kL = (n + \frac{1}{2})\pi$ c'est-à-dire $L = (2n + 1) \frac{\lambda}{4}$ avec $n \in \mathbb{N}$. Cela s'interprète graphiquement simplement : puisque l'onde commence par un nœud et termine par un ventre, **la longueur totale est décomposée comme un nombre impair de quarts de longueur d'onde**.
 - S'il y a 4 nœuds, alors $n = 3$ et $L = 7 \frac{\lambda}{4}$. Ci-dessous on représente la surface à deux instants correspondant aux positions extrêmes de chaque point de la surface (bleu et vert), et un instant quelconque (noir pointillé).



- L'expression précédente s'écrit $L = \frac{7}{4} cT = 21 \text{ m}$.

II.2. Utilisation d'injecteurs

- Les injecteurs sont placés au niveau du premier ventre consécutif à celui du bord, donc $d = \frac{\lambda}{2}$. Or il y a deux fuseaux entiers et deux demi-fuseaux, donc $L = \frac{3}{2}\lambda$. Par conséquent $d = \frac{L}{3}$.
 - On a $L = \frac{3c}{2f}$ donc $f = \frac{3c}{2L} = 0,50 \text{ Hz}$.
 - Deux ventres consécutifs sont en opposition de phase, donc les jets doivent l'être aussi, c'est-à-dire **déphasés de π** . D'un point de vue temporel ils sont décalés de $\frac{T}{2} = \frac{1}{2f} = 1,0 \text{ s}$.
- Avec un nœud de plus, on a un ventre de plus donc un jet supplémentaire, donc **3 jets au total**. Les jets sont espacés de $d = \frac{L}{4}$.
Les deux jets extrêmes sont en phase, et le jet central est déphasé de π par rapport aux autres.

